



Resistencia antimicrobiana: Estudio de perfil de resistencias en cepas clínicas y ambientales aisladas en centros asistenciales de la Región Metropolitana

Dr. Esteban Paredes Osses.

Departamento Nacional y de Referencia en Salud Ambiental.

Qué es el 'Aspergillus', el hongo contagioso que obligó a cerrar cinco pabellones de un hospital público en Chile

Las autoridades del hospital El Pino, en el municipio de San Bernardo, han confirmado dos casos de pacientes afectados con aspergilosis pulmonar



Muerte de lactantes en Clínica Alemana: ISP detectó la misma bacteria en tres recintos

Publicado: Viernes, 23 de Marzo de 2018 a las 08:17hrs. Autor: Cooperativa.cl

- Un análisis del organismo determinó los organismos también estaban presentes en el Hospital Exequiel González Cortés y el Hospital Clínico de la U. de Chile.
- Los resultados ya fueron entregados a la Fiscalía Metropolitana Oriente.

THE CLINIC

NEGOCIOS 5 DE JULIO DE 2024

Clínica Santa María deberá indemnizar con \$1.400 millones a paciente por mal tratamiento de embarazo, parto prematuro e infección



Mayor morbilidad

Mayor mortalidad Se estima que entre 5-15% de los pacientes hospitalizados adquirirán una IAAS, lo que representa una carga económica significativa.



Aumento tiempo hospitalización

Mayor gasto

Deterioro calidad de vida

Sin embargo, un porcentaje de ellas son evitables sí se aplican medidas efectivas de prevención y control de infecciones.



WHO Bacterial Priority Pathogens List, 2024

Bacterial pathogens of public health importance to guide research, development and strategies to prevent and control antimicrobial resistance

Fig. 1. WHO Bacterial Priority Pathogens List, 2024 update

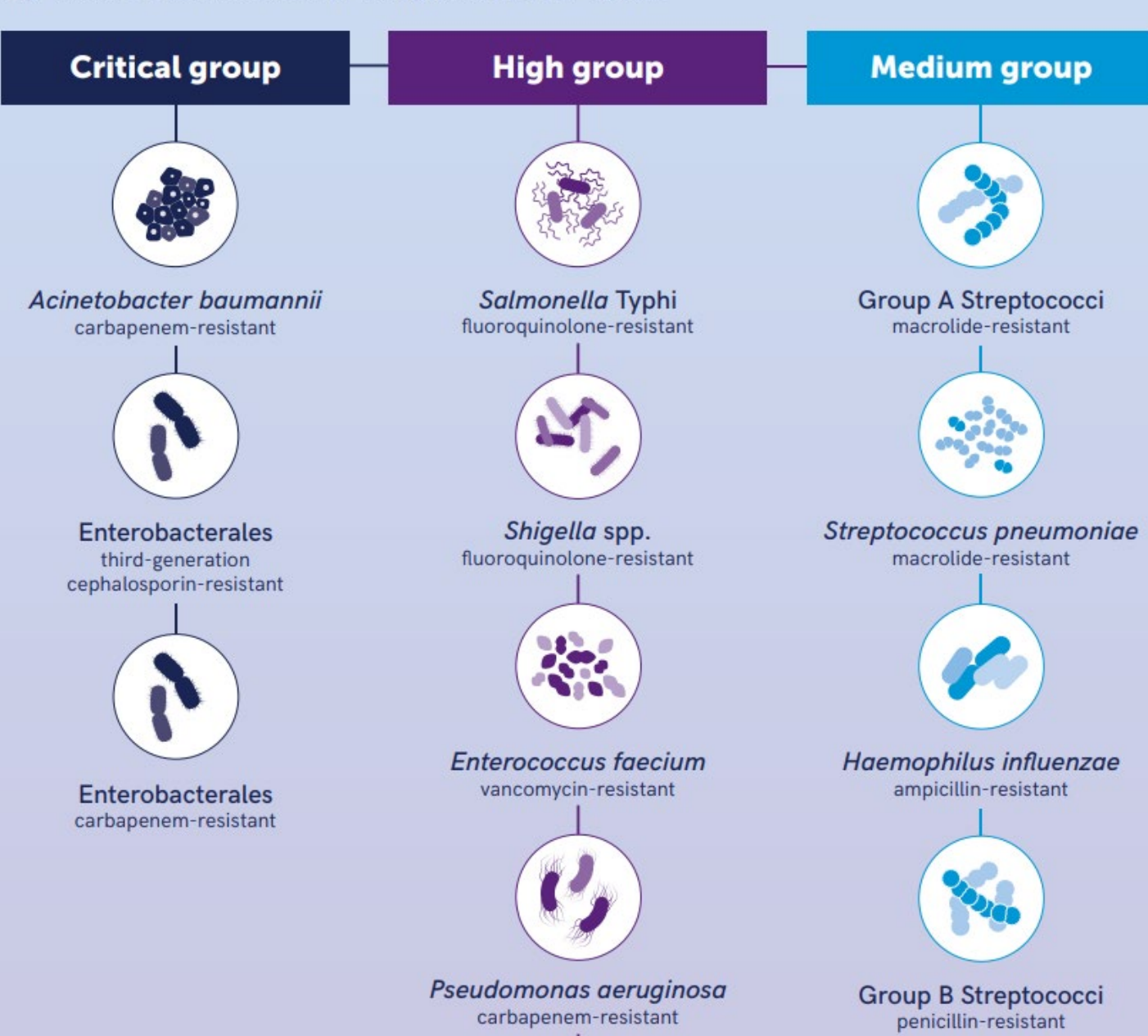
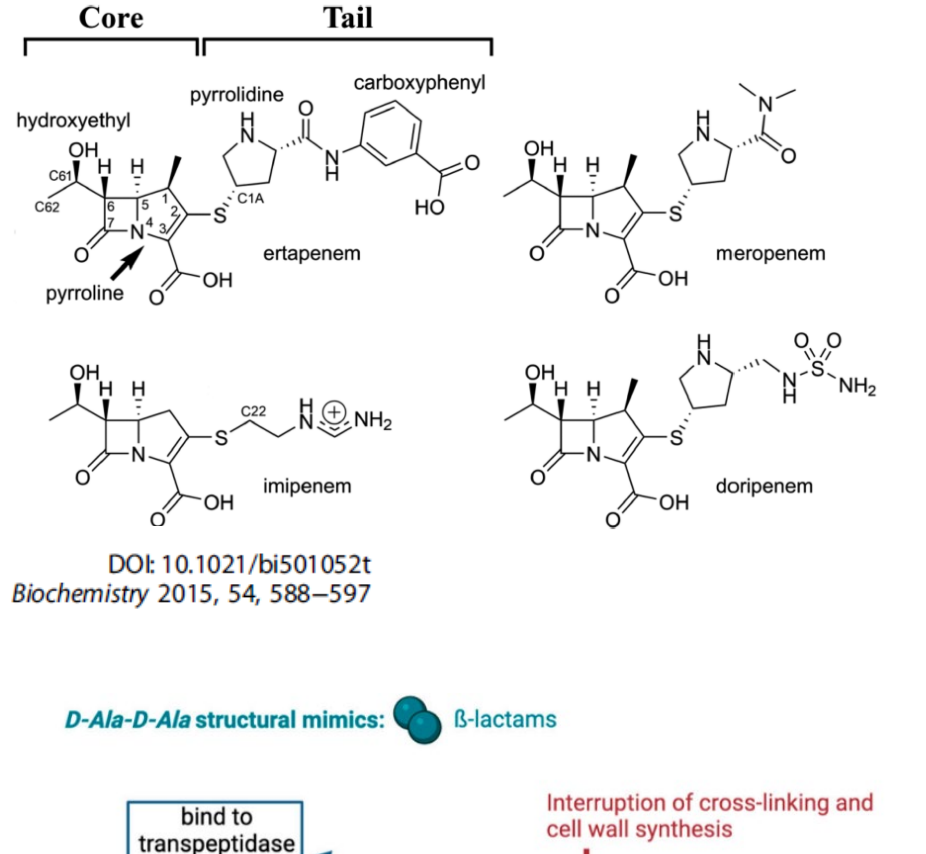


Fig. 2. Pathogens prioritized in the 2024 BPPL update as compared with the 2017 BPPL

WHO BPPL 201	7 WHO BPPL 2024
Acinetobacter baumannii, carbapenem-resistant	Klebsiella pneumoniae, carbapenem-resistant
Pseudomonas aeruginosa, carbapenem-resistant	Escherichia coli, third-generation cephalosporin-resistant
Klebsiella pneumoniae, third- generation cephalosporin-resistant	Acinetobacter baumannii, carbapenem-resistant
4 Escherichia coli, third-generation cephalosporin-resistant	Mycobacterium tuberculosis, rifampicin-resistant
5 Klebsiella pneumoniae, carbapenem-resistant	Escherichia coli, carbapenem-resistant
6 Enterobacter species, third- generation cephalosporin-resistant	Klebsiella pneumoniae, third- generation cephalosporin-resistan
7 Serratia species, third-generation cephalosporin-resistant	Salmonella Typhi, fluoroquinolone-resistant
8 Proteus species, third-generation cephalosporin-resistant	Shigella species, fluoroquinolone-resistant
9 Enterobacter species, carbapenem-resistant	Enterococcus faecium, vancomycin-resistant
Escherichia coli, carbapenem-resistant	Pseudomonas aeruginosa, carbapenem-resistant

Carbapenémicos



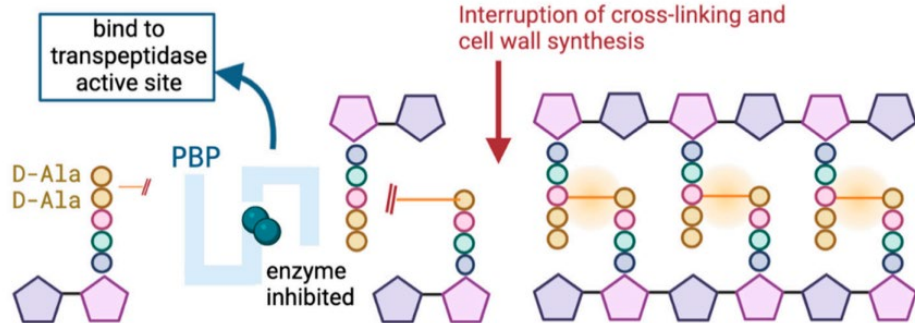
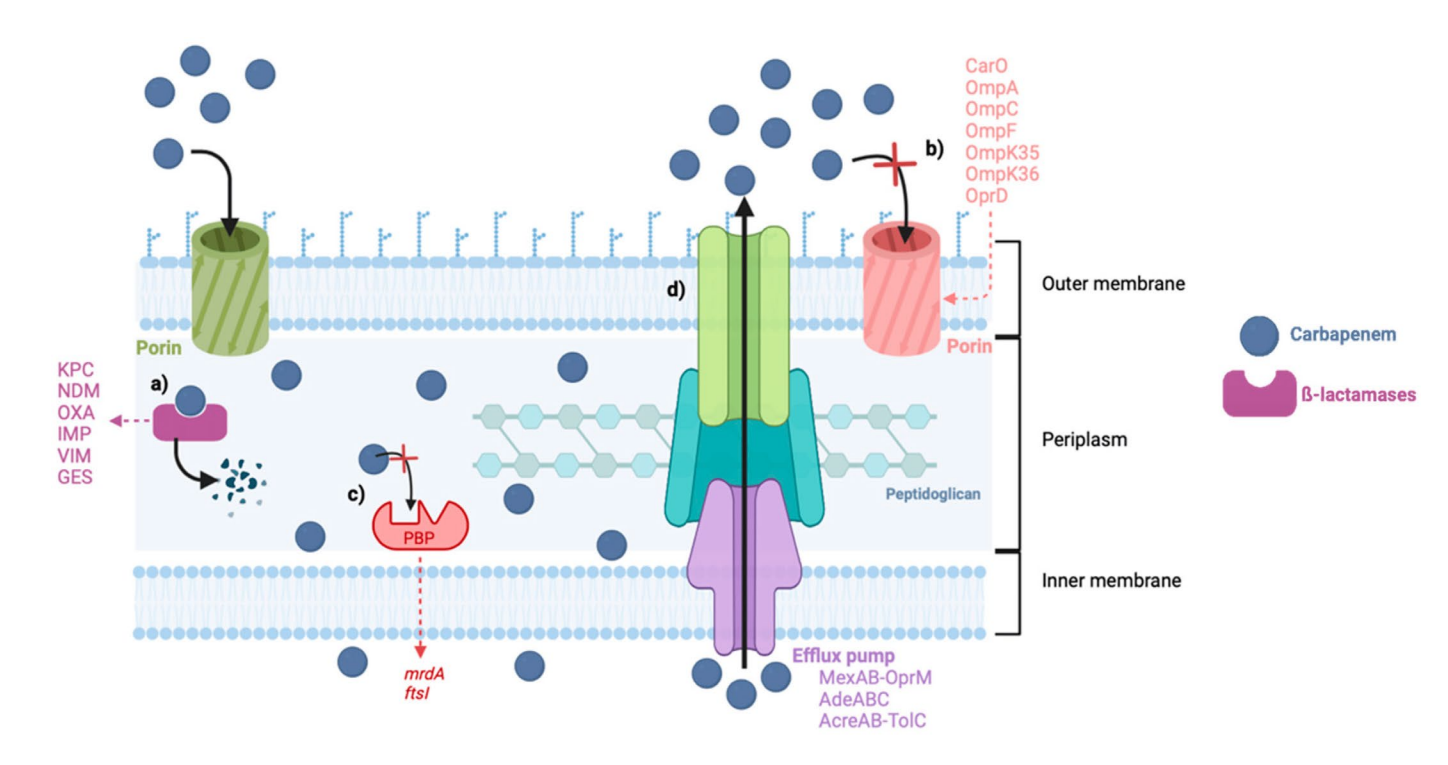


Figure 1. Mechanism of action of β -lactams.



Antibiotics 2024, 13, 557. https://doi.org/10.3390/antibiotics13060557

Carbapenemasas

Table 1Clinically significant carbapenemases commonly expressed by *Enterobacteriaceae* with reduced susceptibility or resistance to carbapenems

Ambler Class	Acronym	Hydrolysing mechanism	Most common variants	Involved species	Carbapenem resistance extent	In vitro active molecules/therapeutic options
A	KPC	serine-based	KPC-2 KPC-3	Klebsiella pneumoniae, Escherichia coli, Serratia marcescens, Enterobacter cloacae	+++	ceftazidime-avibactam imipenem-relebactam meropenem-vaborbactam
В	NDM	zinc-based	NDM-1	K. pneumoniae, E. coli, Enterobacter spp.	+++	aztreonam aztreonam-avibactam
В	IMP	zinc-based	IMP-1	K. pneumoniae, E. coli, Serratia spp., Enterobacter spp., Citrobacter spp., Proteus spp., Morganella spp.	+	aztreonam aztreonam-avibactam
В	VIM	zinc-based	VIM-1 VIM-2	K. pneumoniae, E. coli, Serratia spp., Enterobacter spp., Citrobacter spp., Morganella spp., Providencia spp.,	+	aztreonam aztreonam-avibactam
D	OXA	serine-based	OXA-48	Proteus spp. K. pneumoniae, E. coli, Citrobacter spp., Proteus spp.	++	ceftazidime-avibactam

E. Durante-Mangoni et al. / Clinical Microbiology and Infection 25 (2019) 943-950

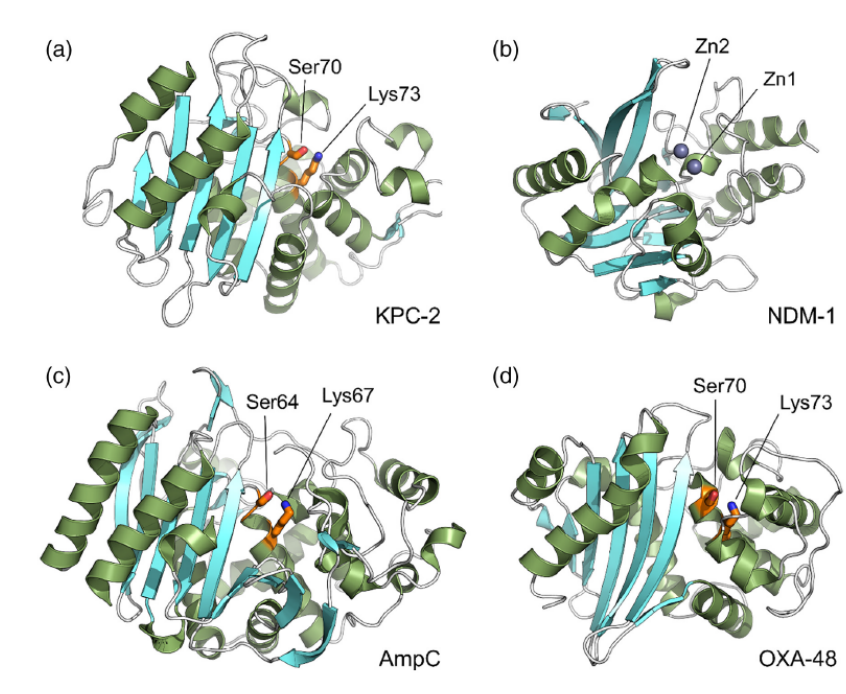
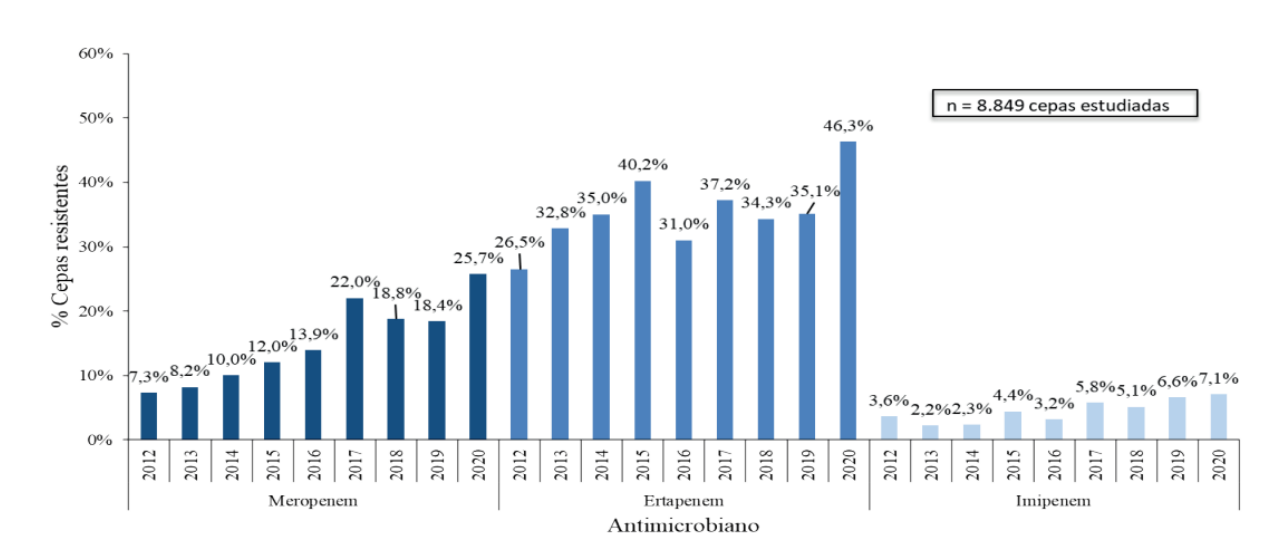


Fig. 2. Overall structure of representative β -lactamases from each class. Crystal structures of β -lactamases from classes A, B, C and D. Catalytic important residues of serine- β -lactamases (serine 64/70 and lysine 67/73, labeled) are colored orange, and the metallo- β -lactamase zinc ions are shown as gray spheres. (a) Class A KPC-2 (PDB 5ul8). (b) Class B NDM-1 (PDB 5zgy). (c) Class C AmpC (PDB 1ke4). (d) Class D OXA-48 (PDB 3hbr). Figure (and other structural Figures) generated with Pymol (www.pymol.org).



Klebsiella pneumoniae

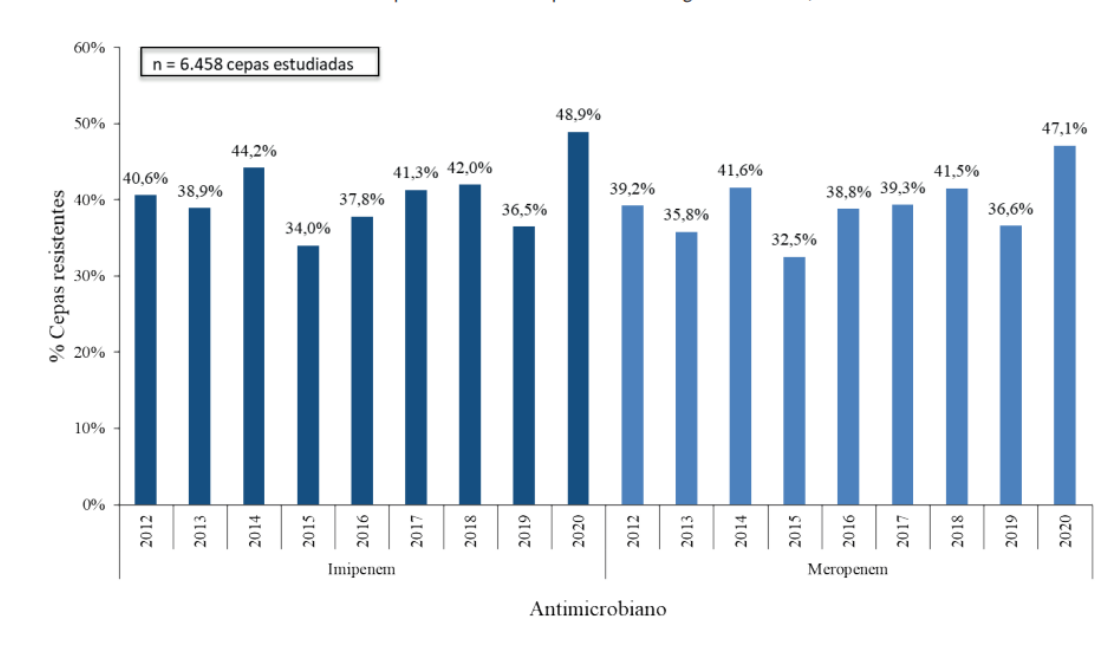
Resistencia a carbapénemicos en cepas de K. pneumoniae. Chile, 2012-2020.



Nota: Cepas con sensibilidad intermedia no se contabilizan como resistentes Fuente: Oficina del Programa Nacional de Prevención y Control de IAAS/Depto. Calidad y Seguridad de la Atención del Paciente. Ministerio de Salud

Pseudomonas aeruginosa

Resistencia a carbapénemicos en cepas de P. aeruginosa. Chile, 2012-2020.



Nota: Cepas con sensibilidad intermedia no se contabilizan como resistentes

Fuente: Oficina del Programa Nacional de Prevención y Control de IAAS/Depto. Calidad y Seguridad de la Atención del Paciente. Ministerio de Salud

Objetivo

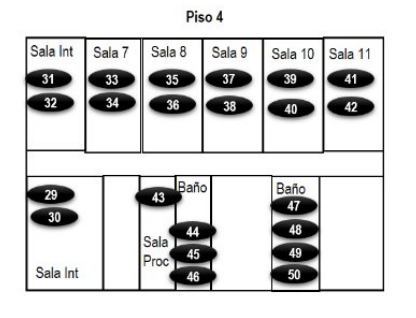
• Identificar y caracterizar la presencia de Enterobacterales y No Fermentadoras, de origen ambiental y clínico, resistentes a antimicrobianos desde dos centros hospitalarios chilenos.



Muestras ambientales

Módulo A Módulo B Módulo C H01

Medicina y Agudos (Piso 2)						
Sala 4	Sala 2	Sala 3	Sala 4			
25	21	18	19			
	27	Baño	Baño			
28 Sala 18	22 23 24	14 15 16	20			









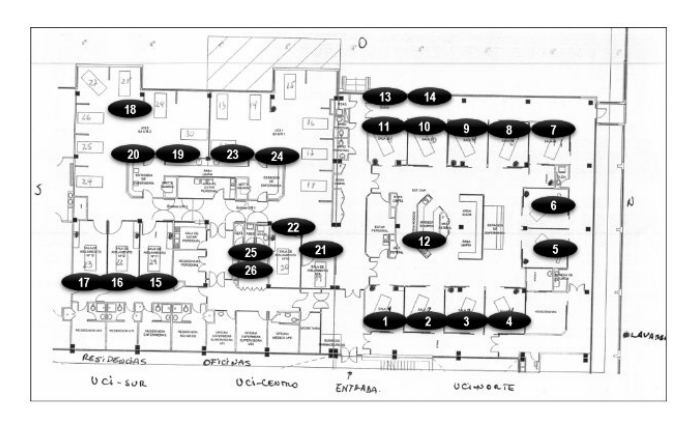


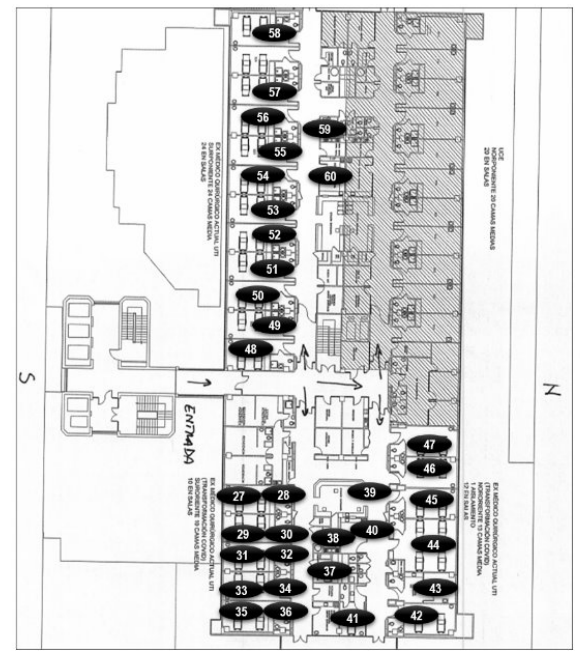


washbasin

nursing station

residual water





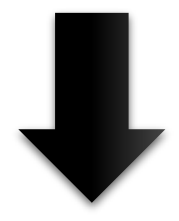


Muestras clínicas



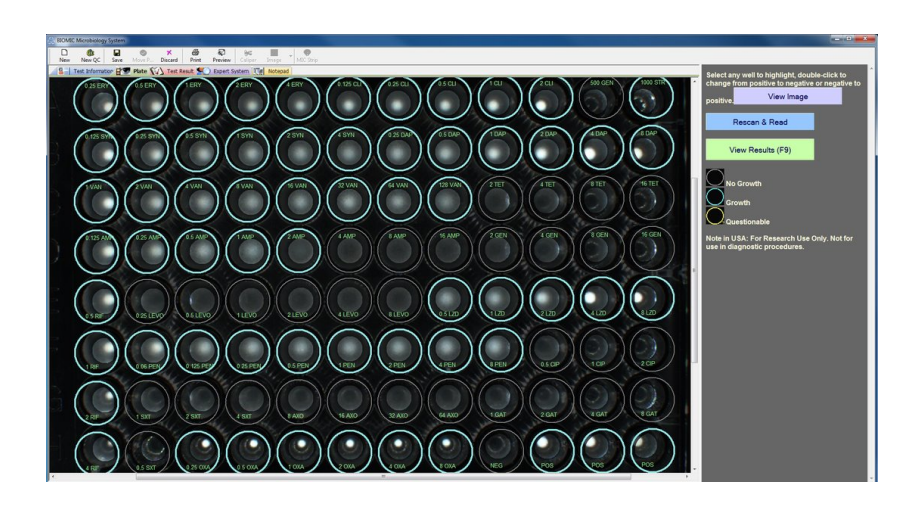












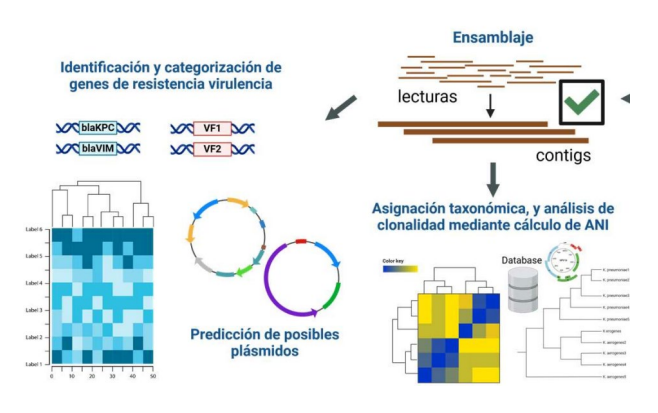








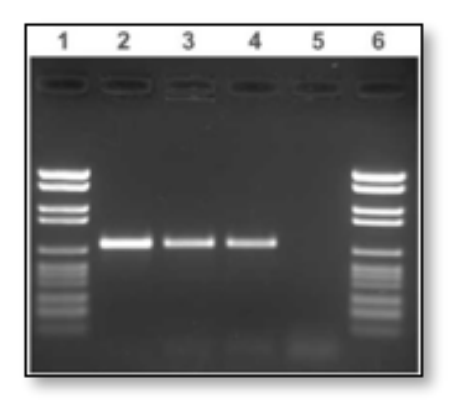








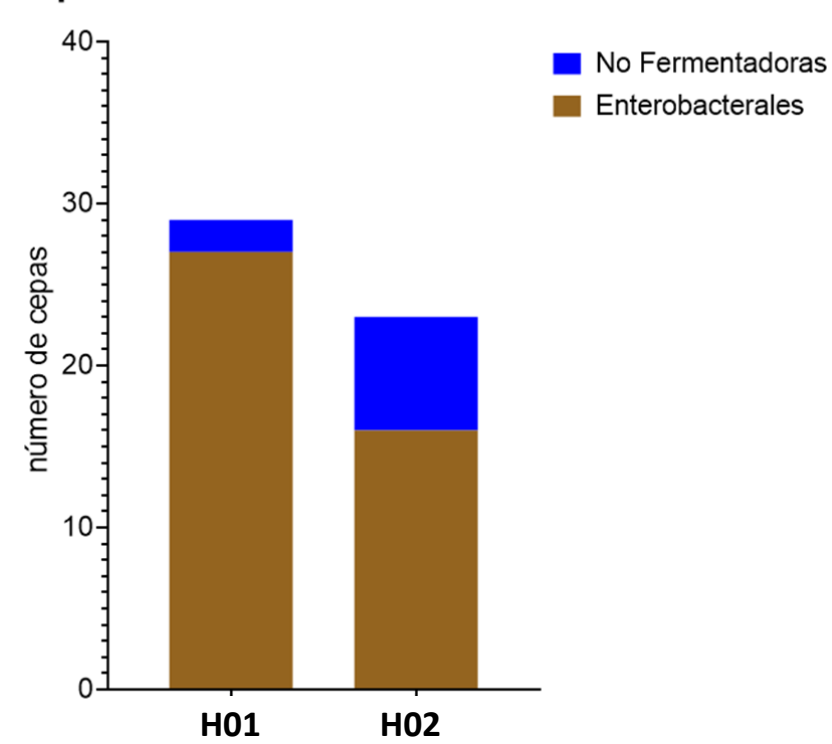


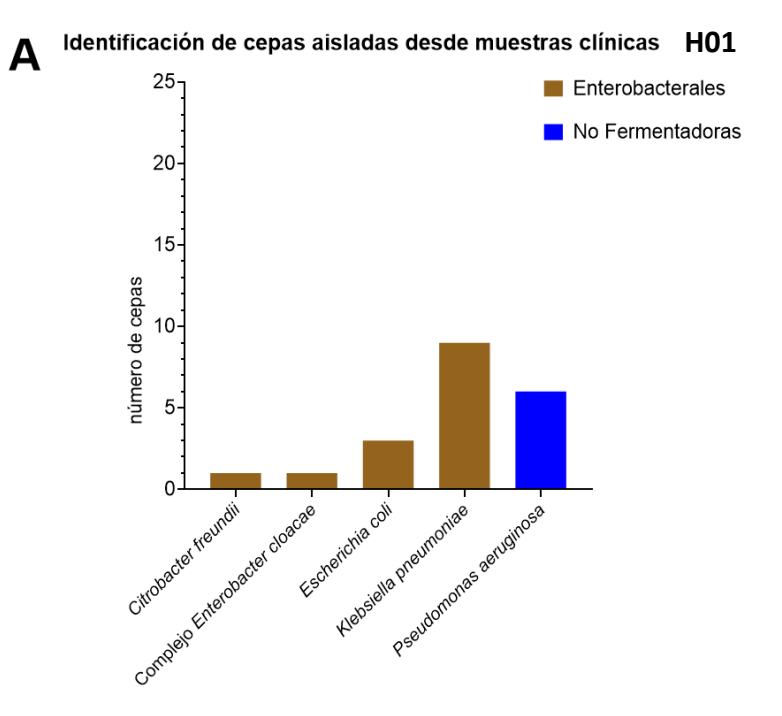


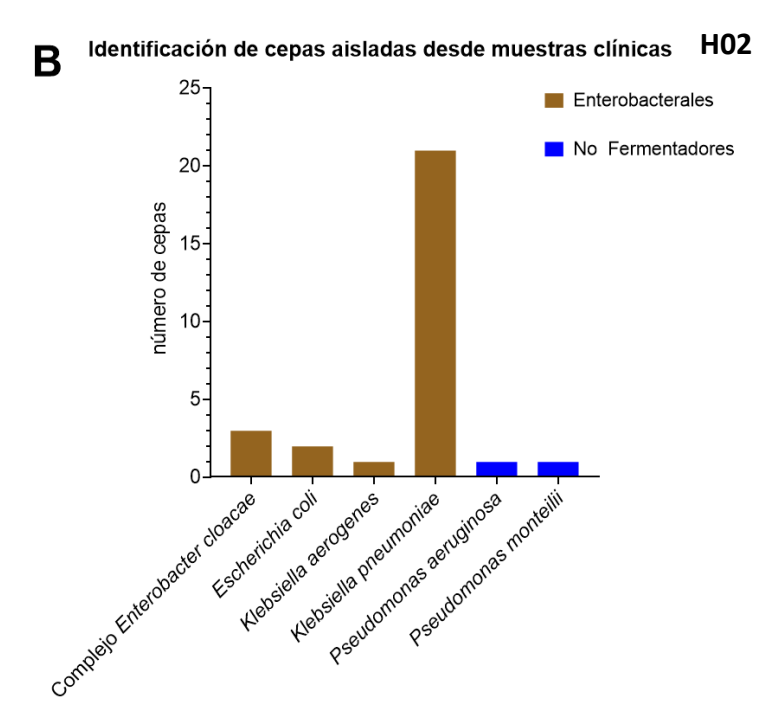
Resultados

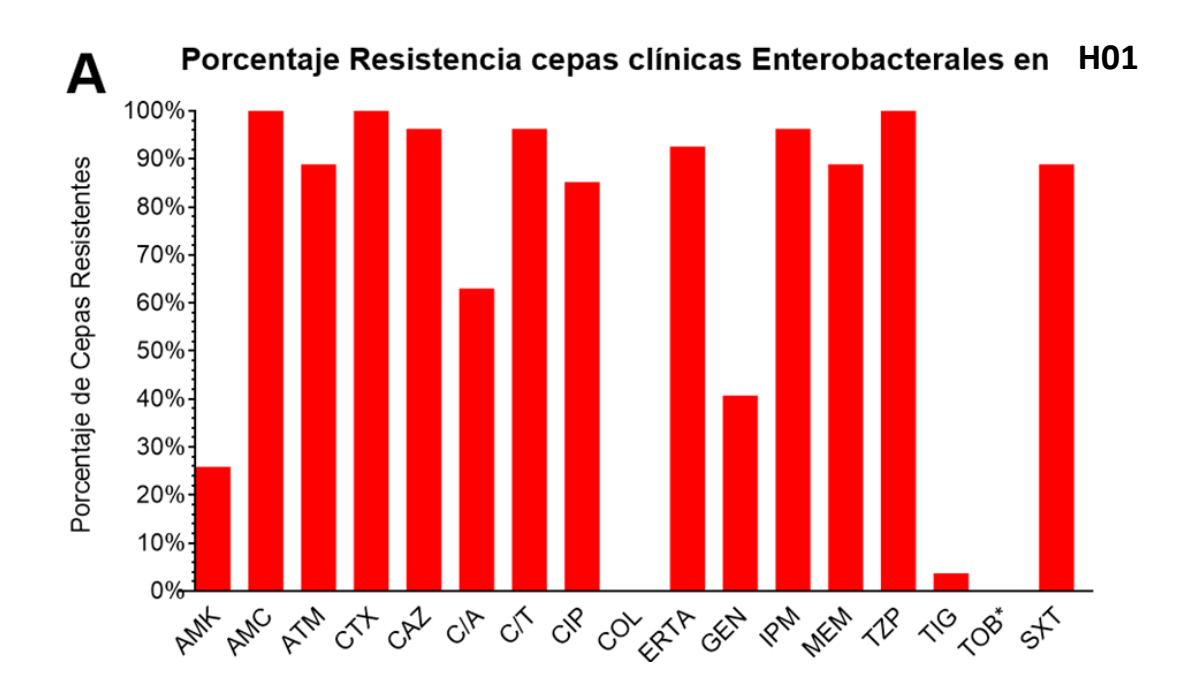


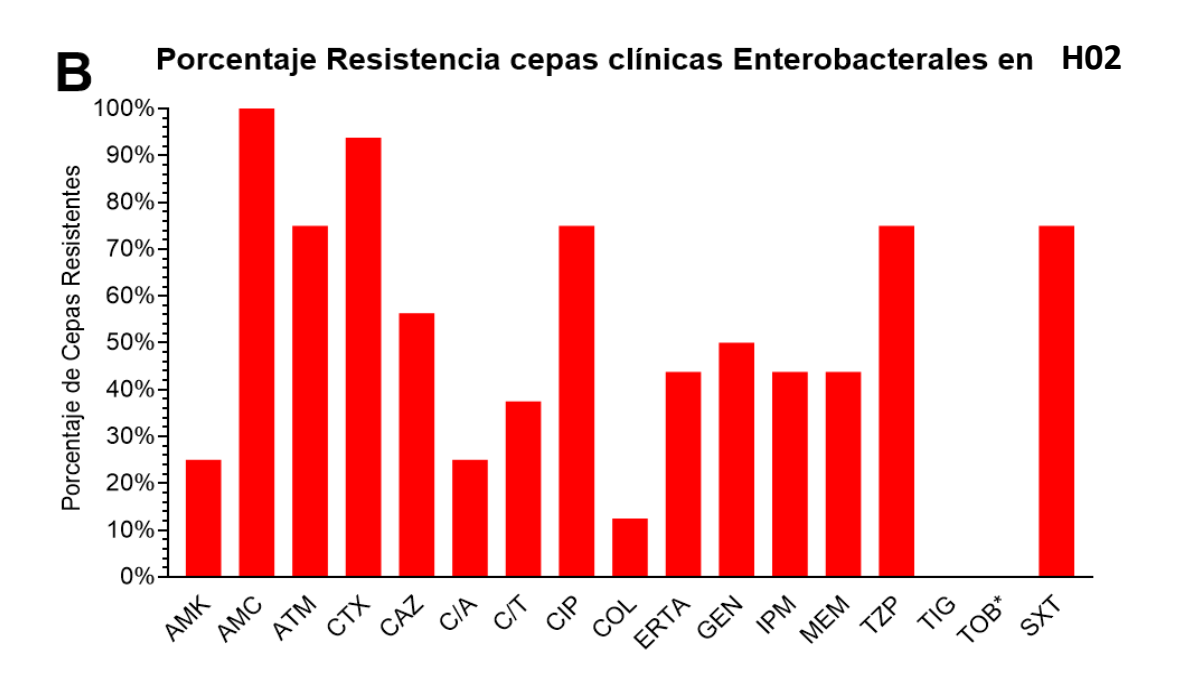
Número de cepas totales aisladas desde muestras clínicas





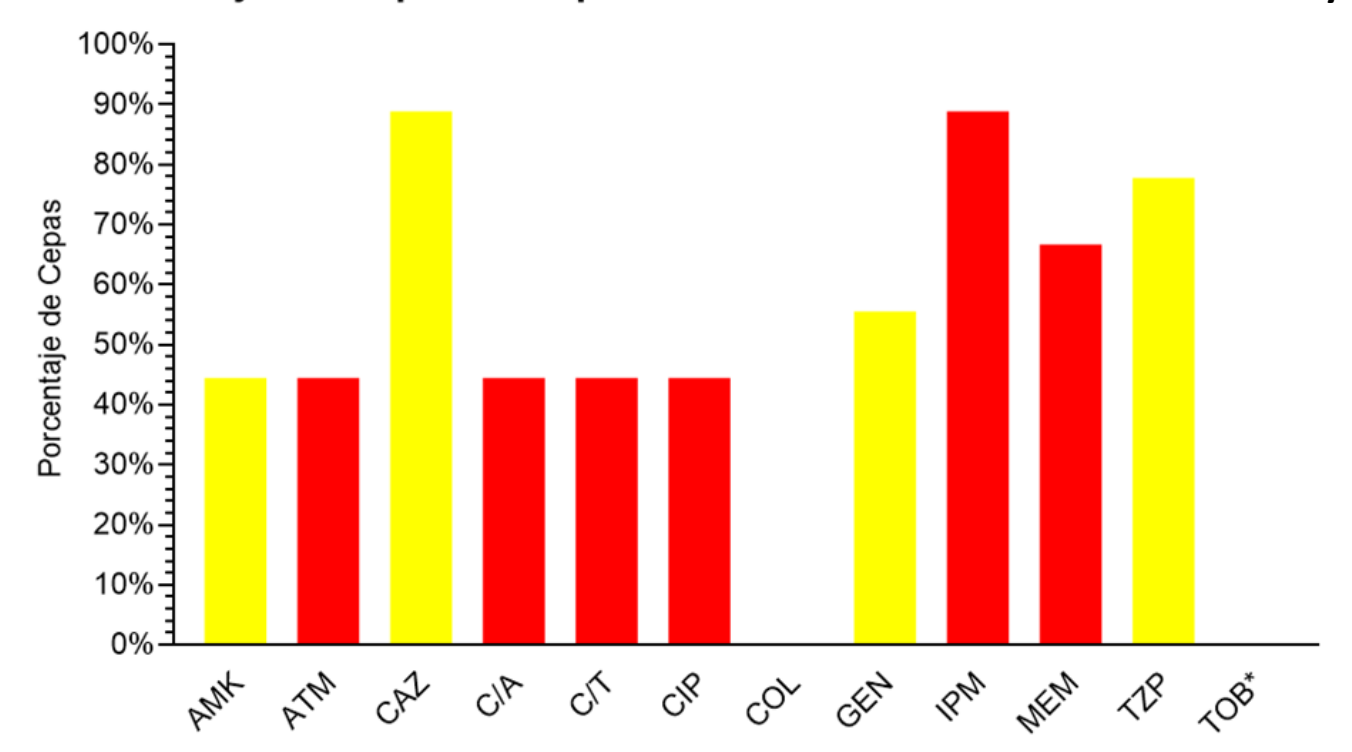






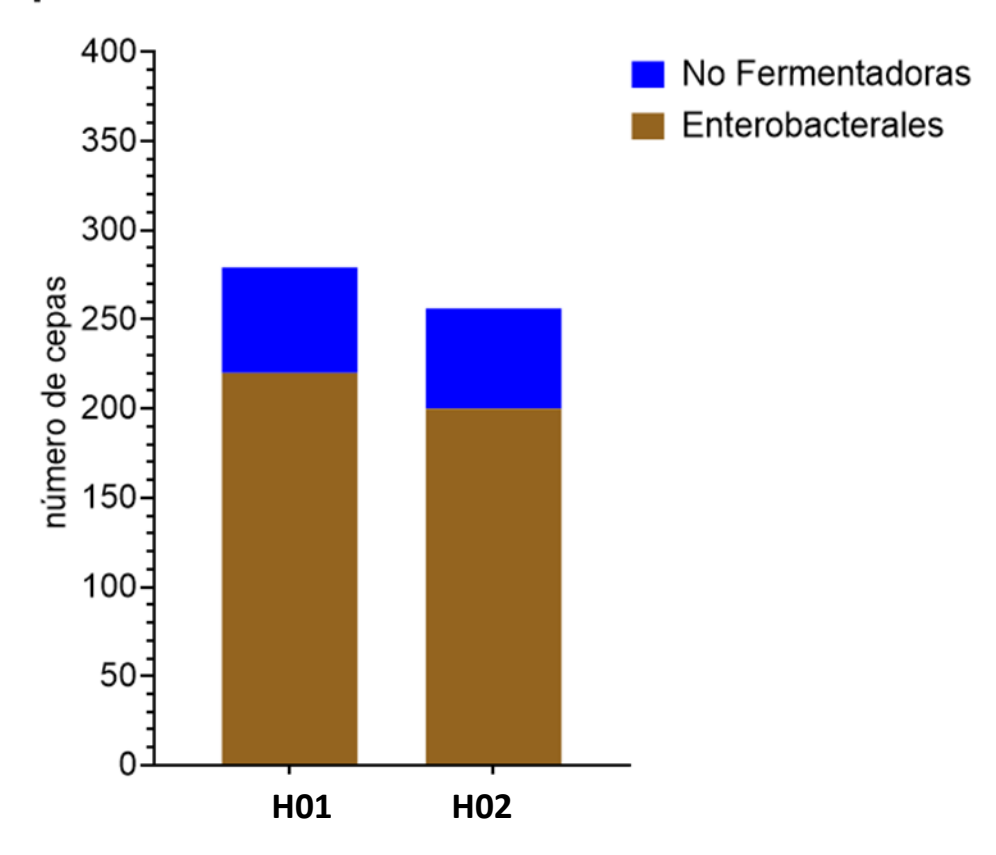
AMK: amikacina, AMC: amoxicilina/ ácido clavulánico, ATM: aztreonam, CTX: cefotaxima, CAZ: ceftazidima, C/A: ceftazidima/ ácido clavulánico, C/T: ceftolozano/ tazobactam, CIP: ciprofloxacino, COL: colistina, ERTA: ertapenem, GEN: gentamicina, IPM: imipenem, MEM: meropenem, TZP: piperacilina/ tazobactam, TIG: tigeciclina, TOB: tobramicina y SXT: trimetoprim/ sulfametoxazol. *: Ensayo no realizado

Porcentaje Susceptibles cepas clínicas No Fermentadoras en H01 y H02

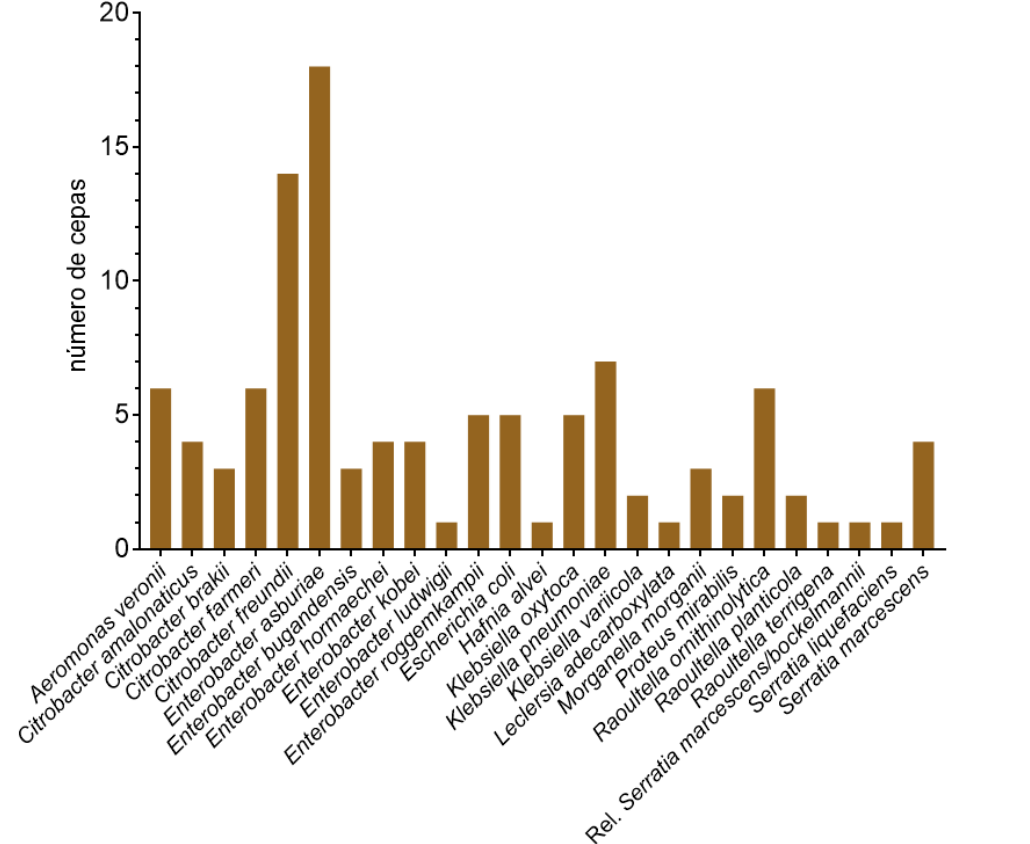


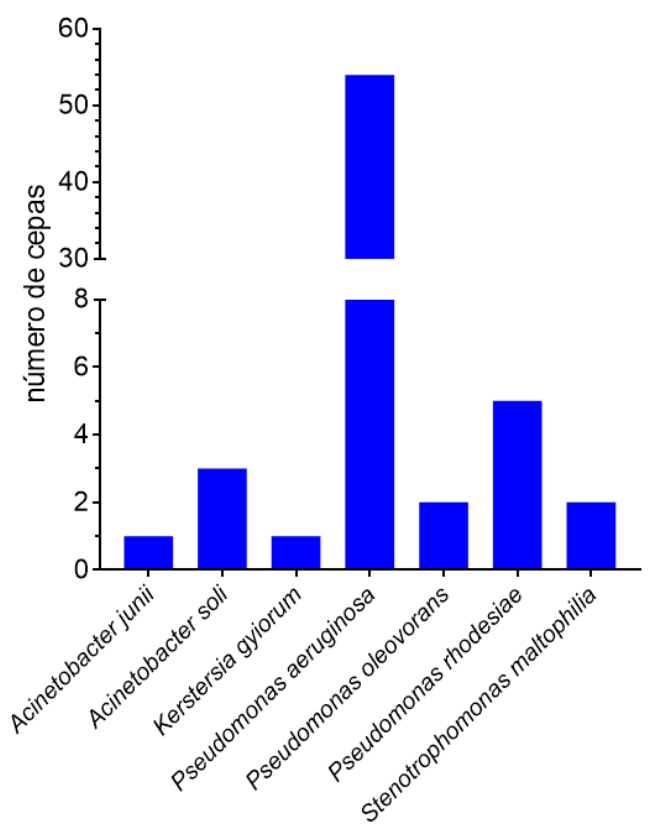
AMK: amikacina, AMC: amoxicilina/ ácido clavulánico, ATM: aztreonam, CTX: cefotaxima, CAZ: ceftazidima, C/A: ceftazidima/ ácido clavulánico, C/T: ceftolozano/ tazobactam, CIP: ciprofloxacino, COL: colistina, ERTA: ertapenem, GEN: gentamicina, IPM: imipenem, MEM: meropenem, TZP: piperacilina/ tazobactam, TIG: tigeciclina, TOB: tobramicina y SXT: trimetoprim/ sulfametoxazol. *: Ensayo no realizado

Número de cepas totales aisladas desde muestras ambientales

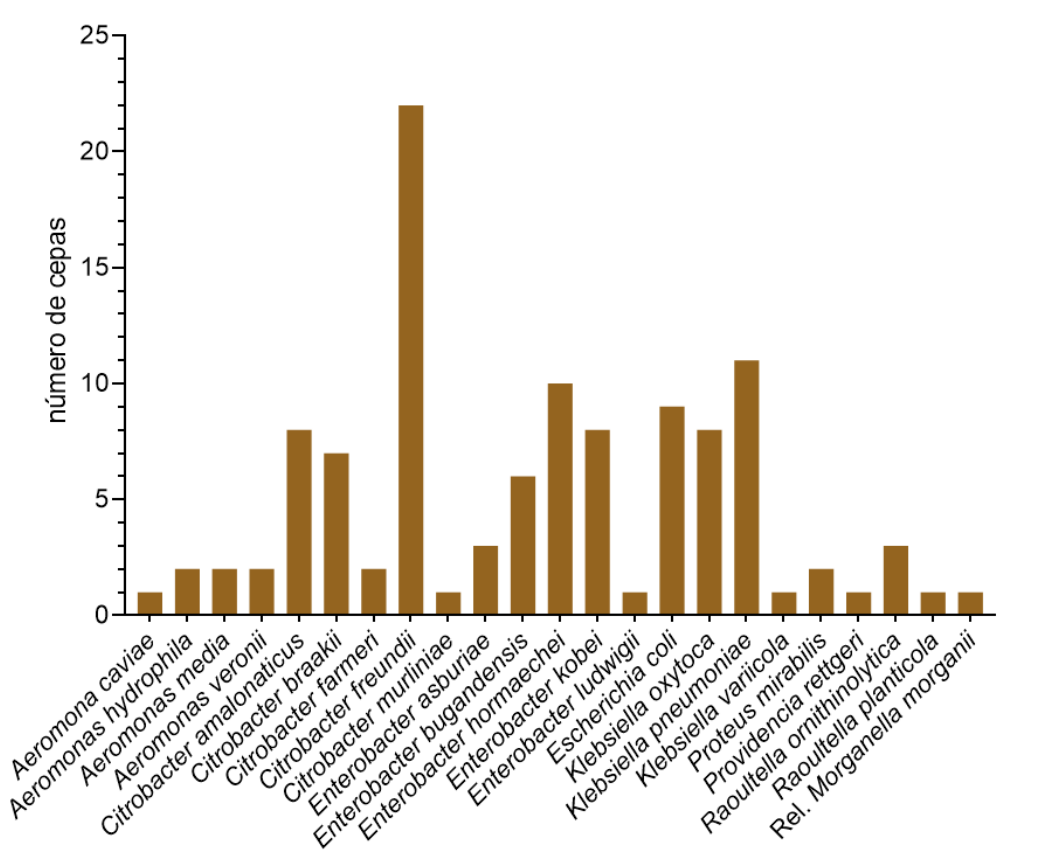


A Identificación de Enterobacterales aislados desde muestras ambientales H01 B Identificación de No Fermentadores aislados desde muestras ambientales H01

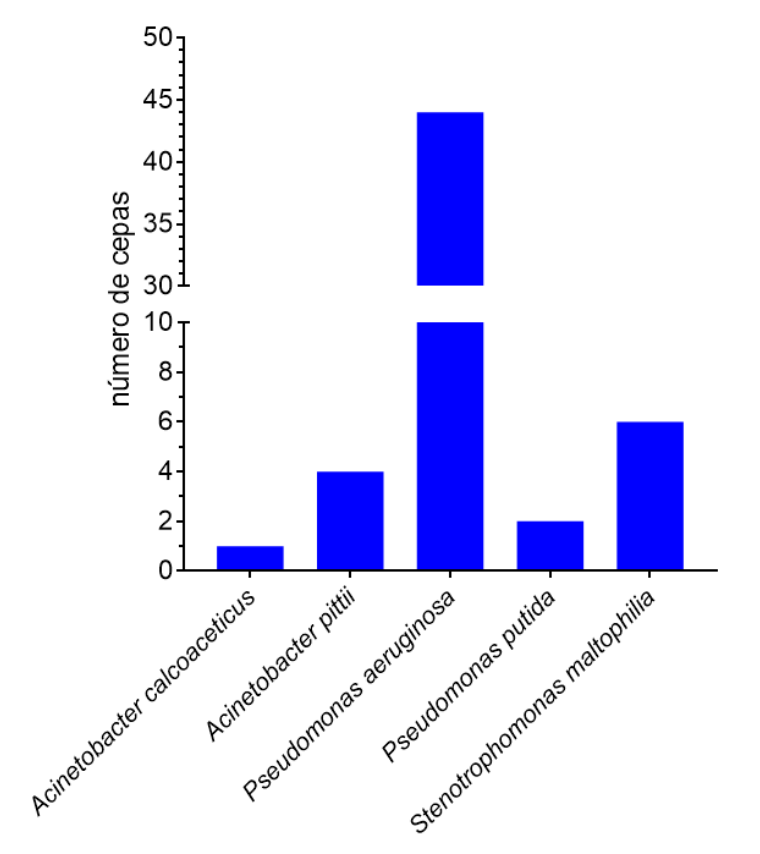


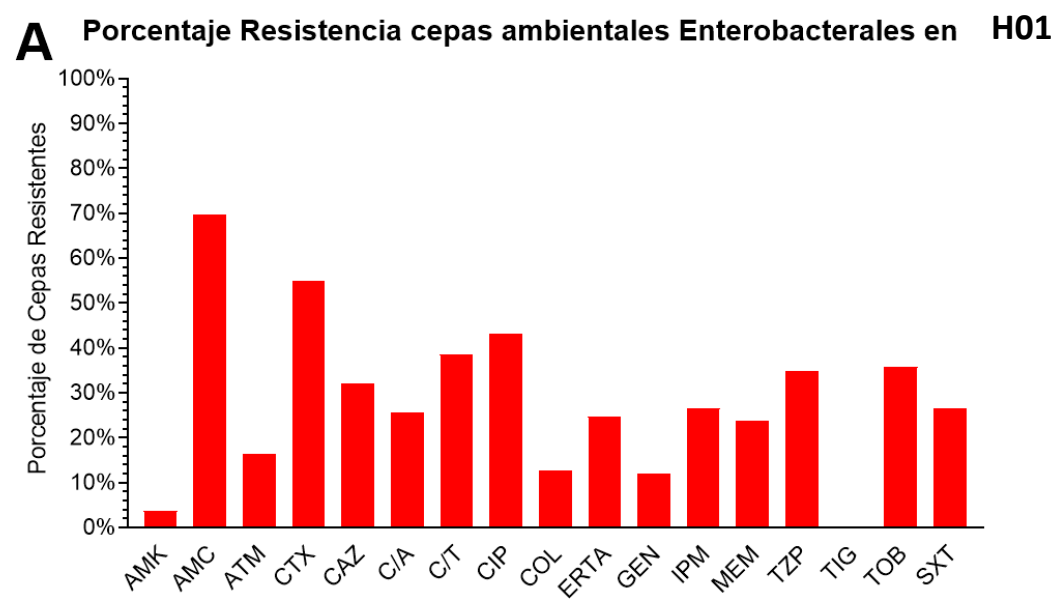


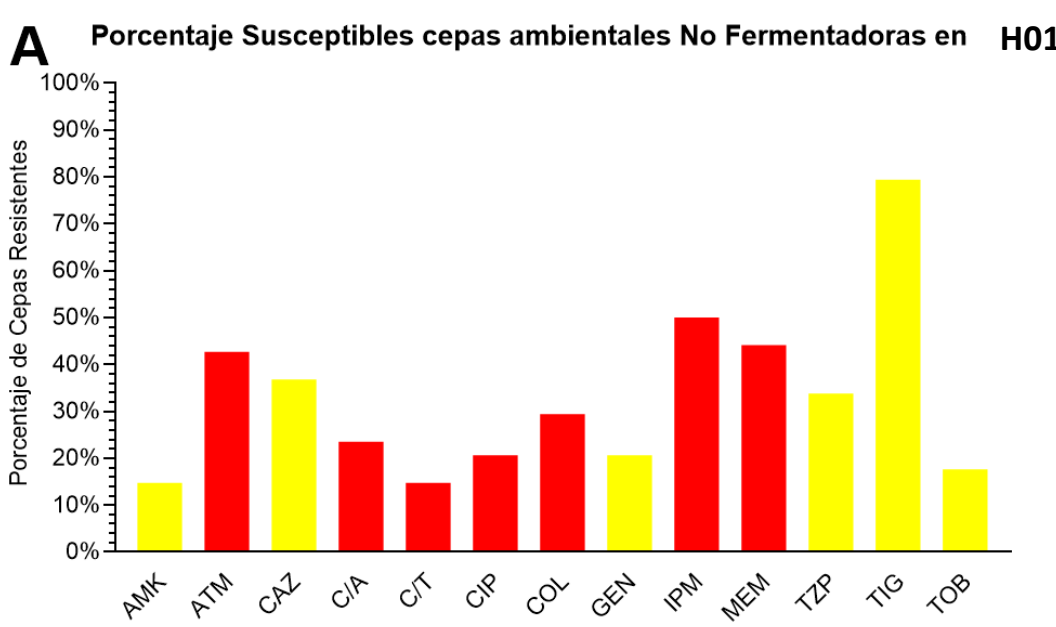
▲ Identificación de Enterobacterales aislados desde muestras ambientales H02

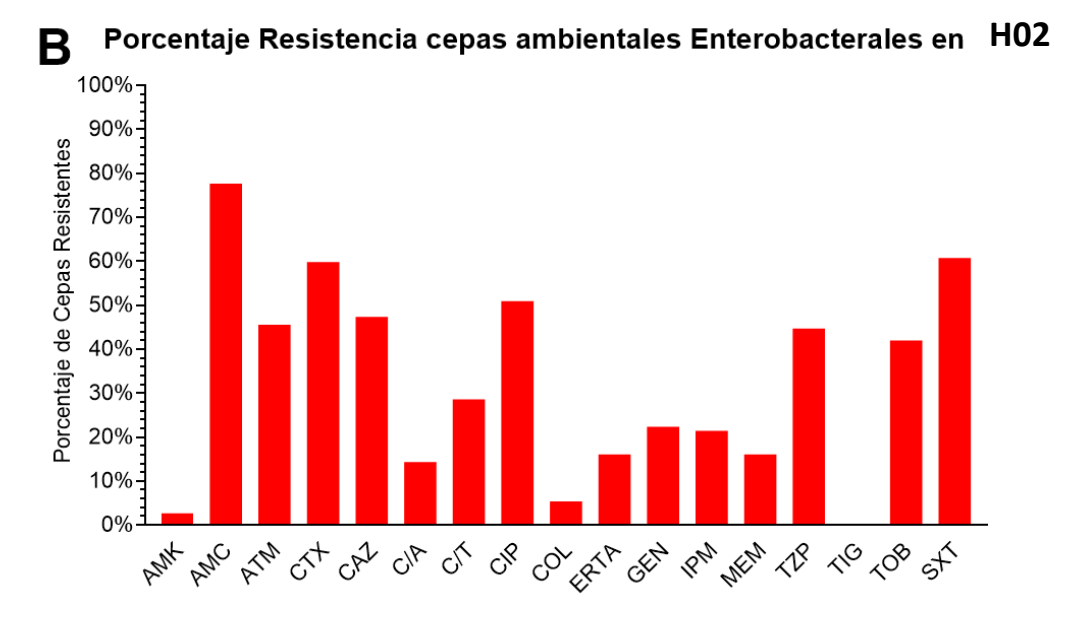


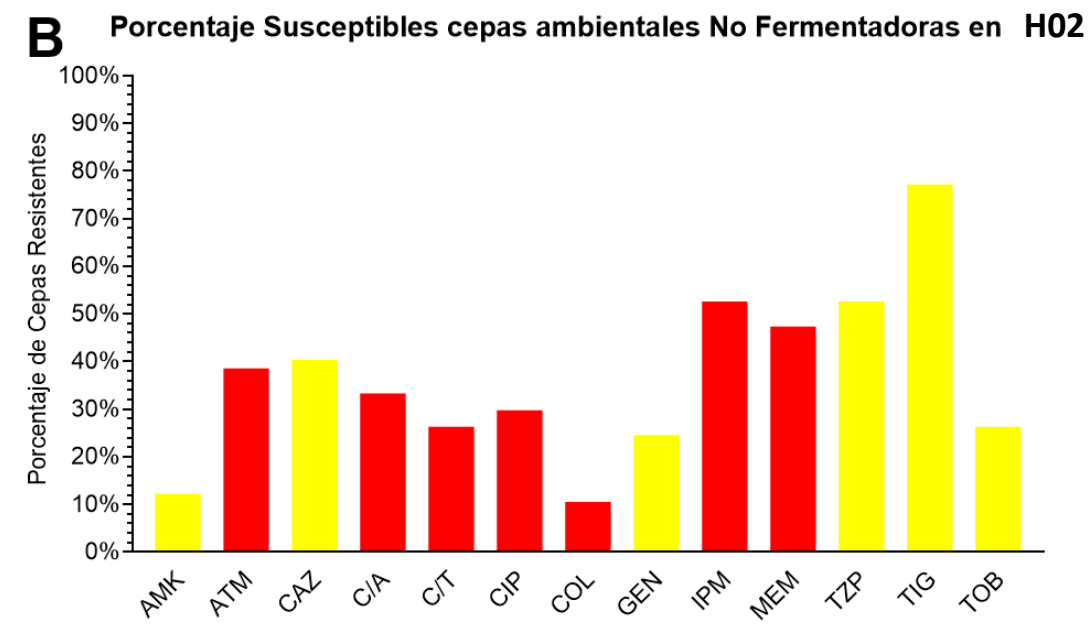
Identificación de No Fermentadoras aisladas desde muestras ambientales H02





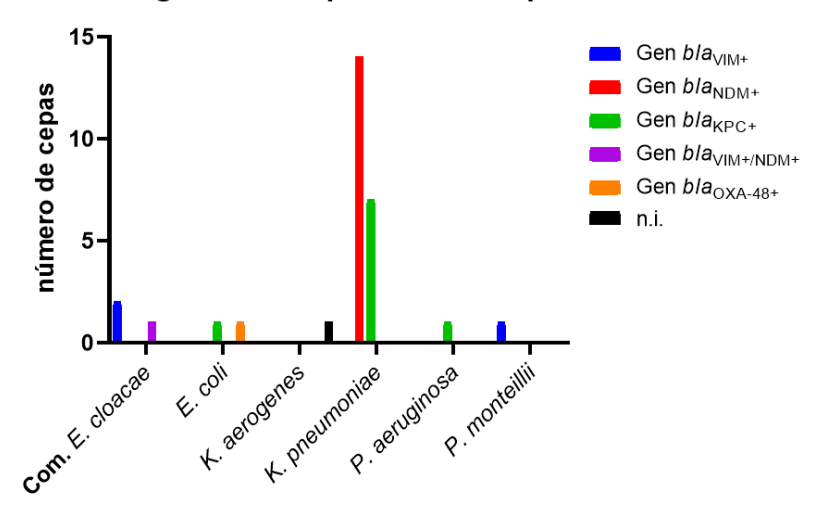




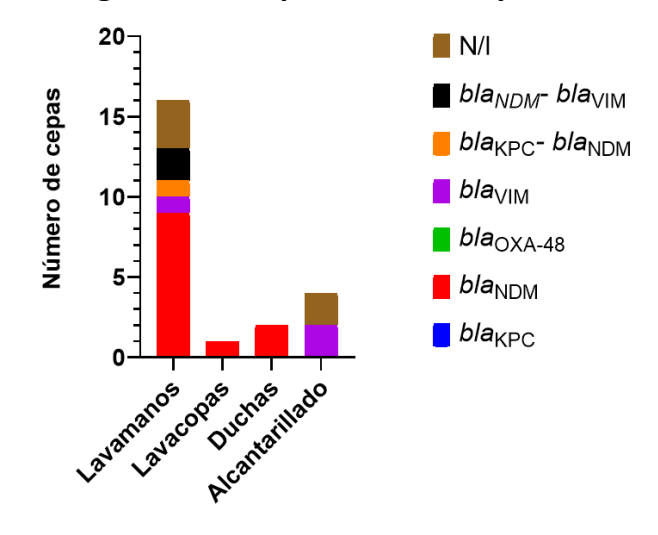


AMK: amikacina, AMC: amoxicilina/ ácido clavulánico, ATM: aztreonam, CTX: cefotaxima, CAZ: ceftazidima, C/A: ceftazidima/ ácido clavulánico, C/T: ceftolozano/ tazobactam, CIP: ciprofloxacino, COL: colistina, ERTA: ertapenem, GEN: gentamicina, IPM: imipenem, MEM: meropenem, TZP: piperacilina/ tazobactam, TIG: tigeciclina, TOB: tobramicina y SXT: trimetoprim/ sulfametoxazol. *: Ensayo no realizado

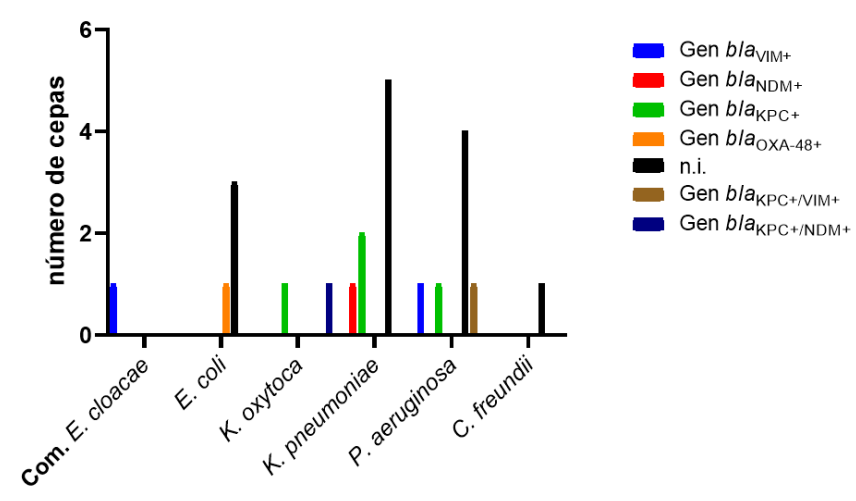
Identificación de genes carbapenemasas cepas clínicas H01



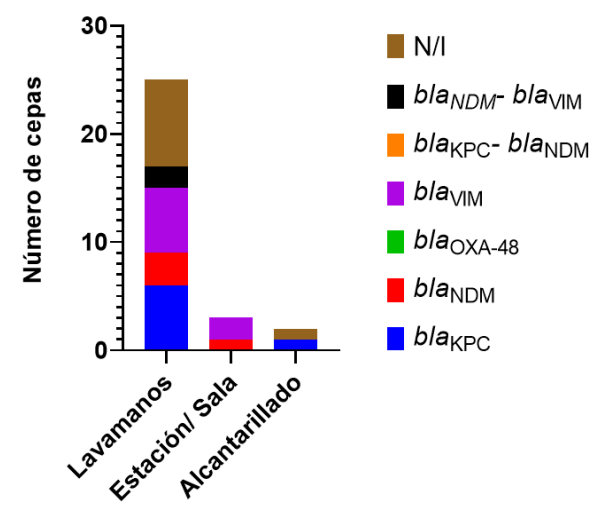
Identificación de genes carbapenemasas cepas ambientales H01

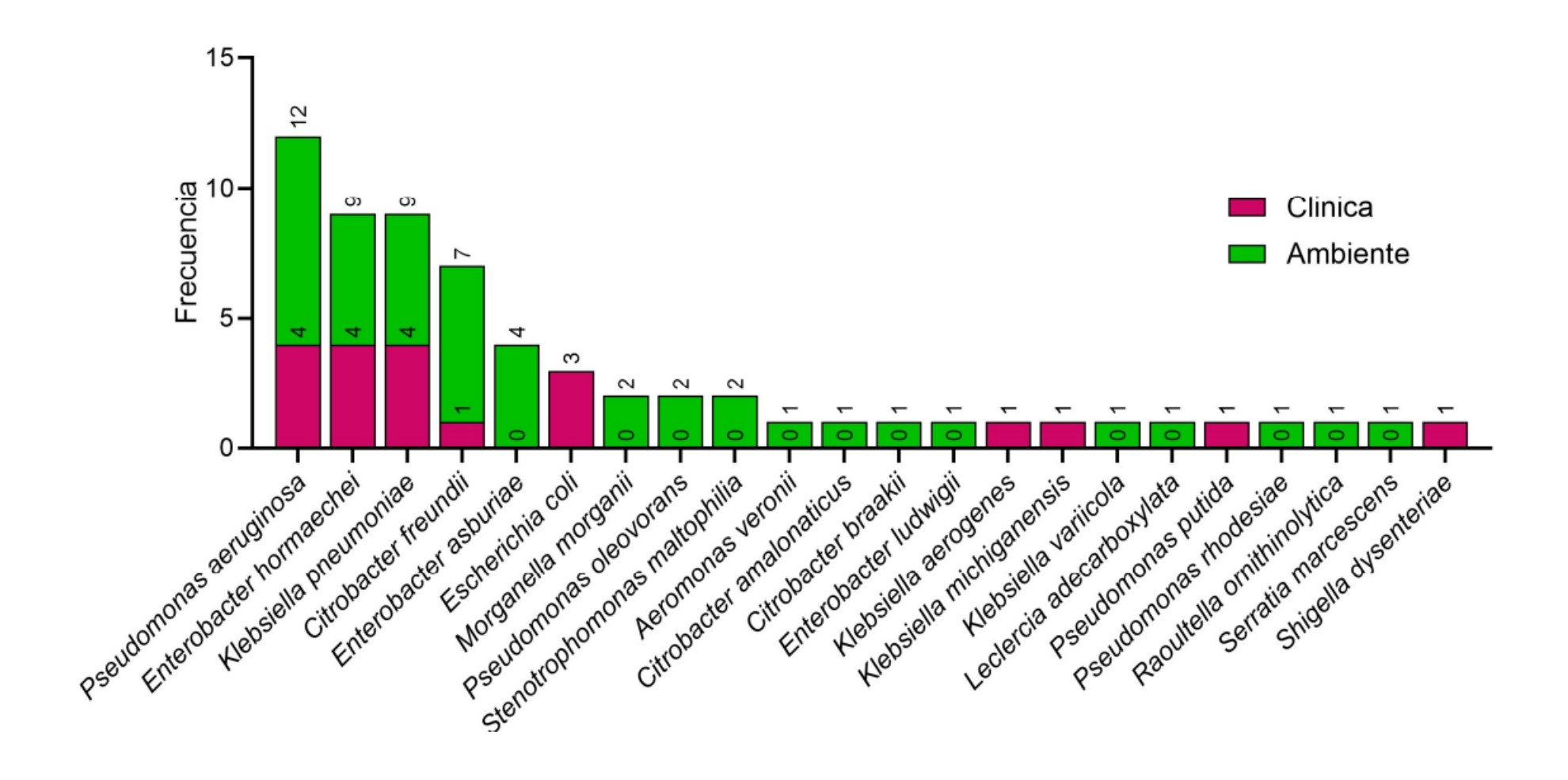


Identificación de genes carbapenemasas cepas clínicas H02

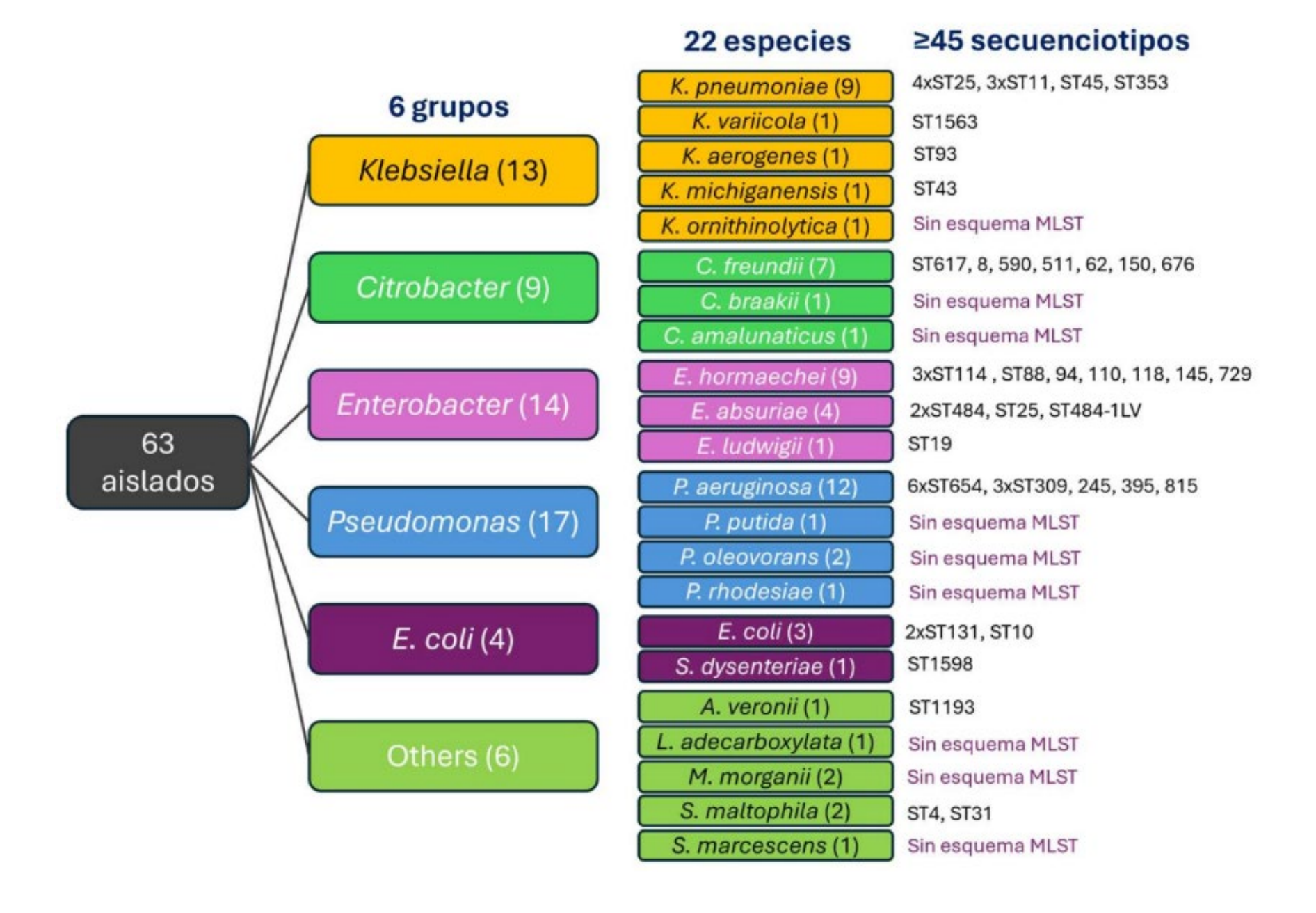


Identificación de genes carbapenemasas cepas ambientales H02

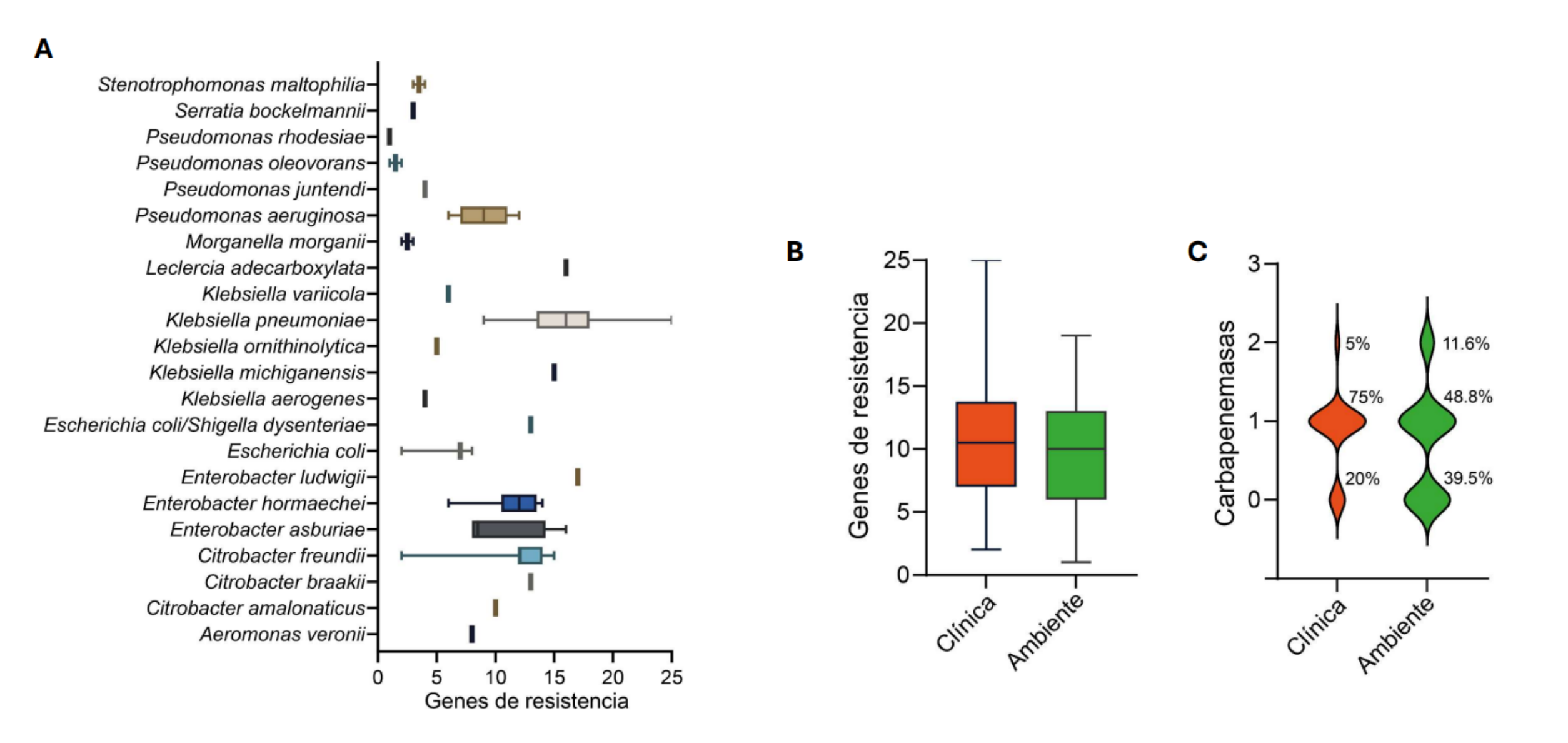




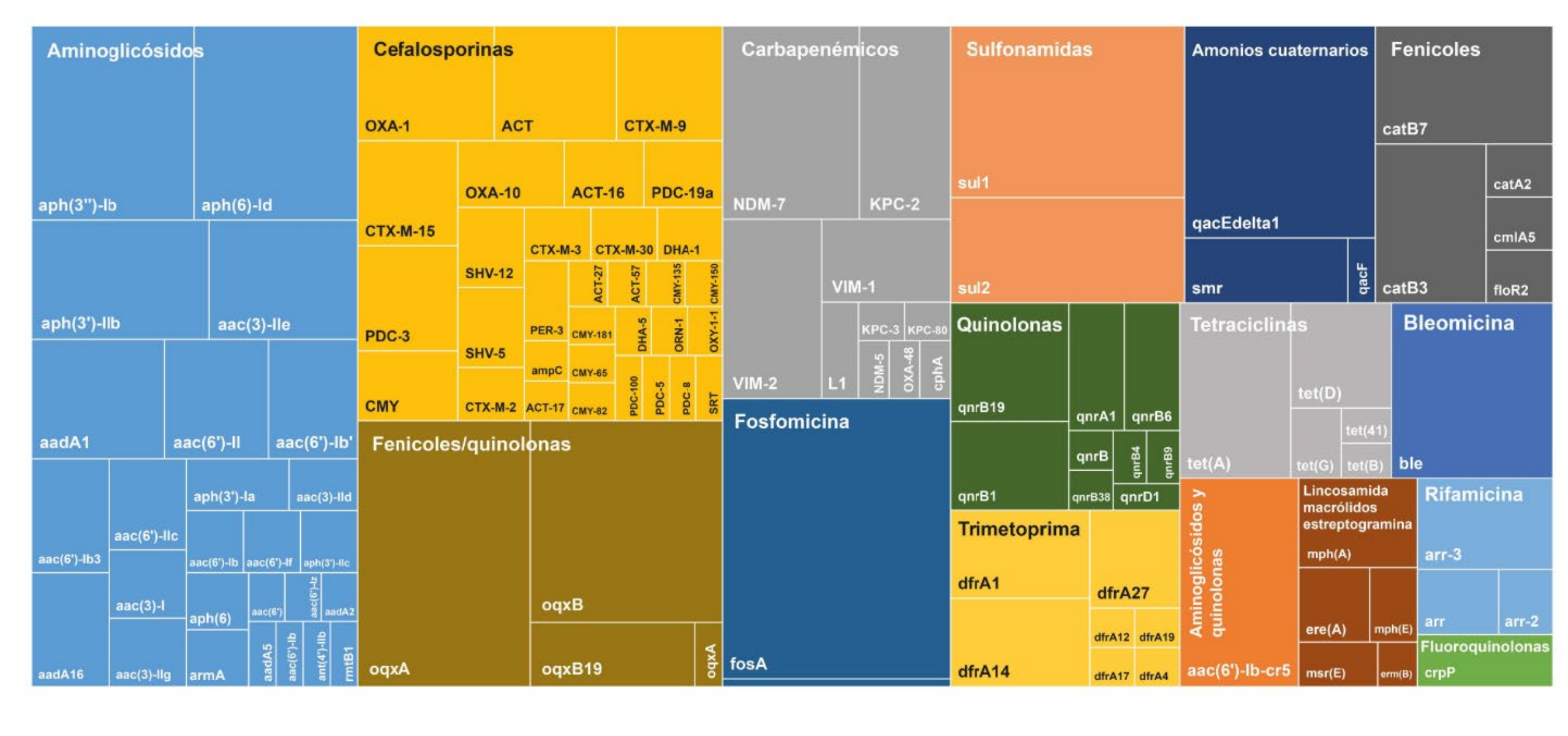
Distribución de especies observadas en las 63 muestras analizadas, clasificados en base a datos genómicos



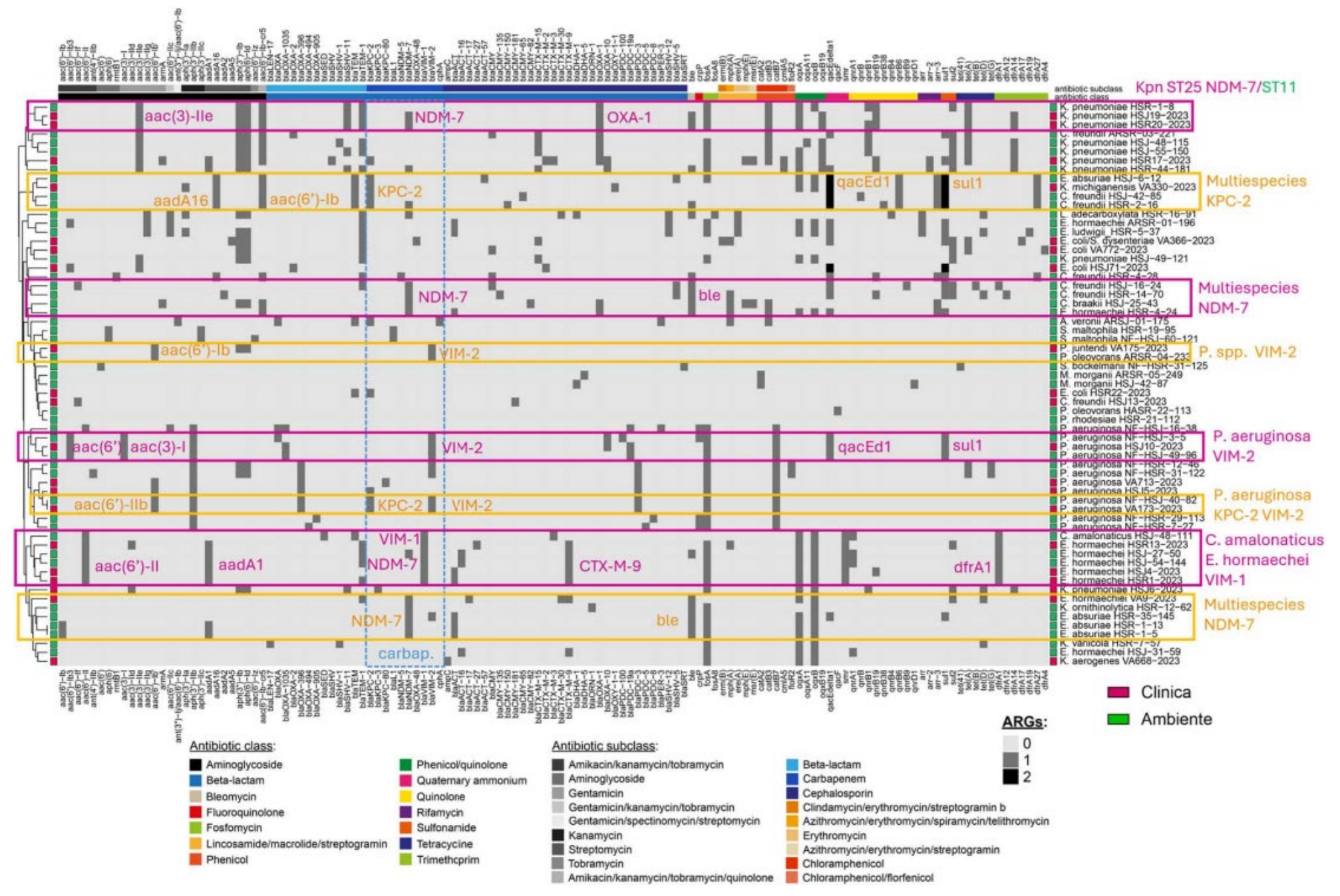
Distribución de secuenciotipos en las distintas especies observadas en la muestra de 63 aislados, según los esquemas de MLST disponibles.



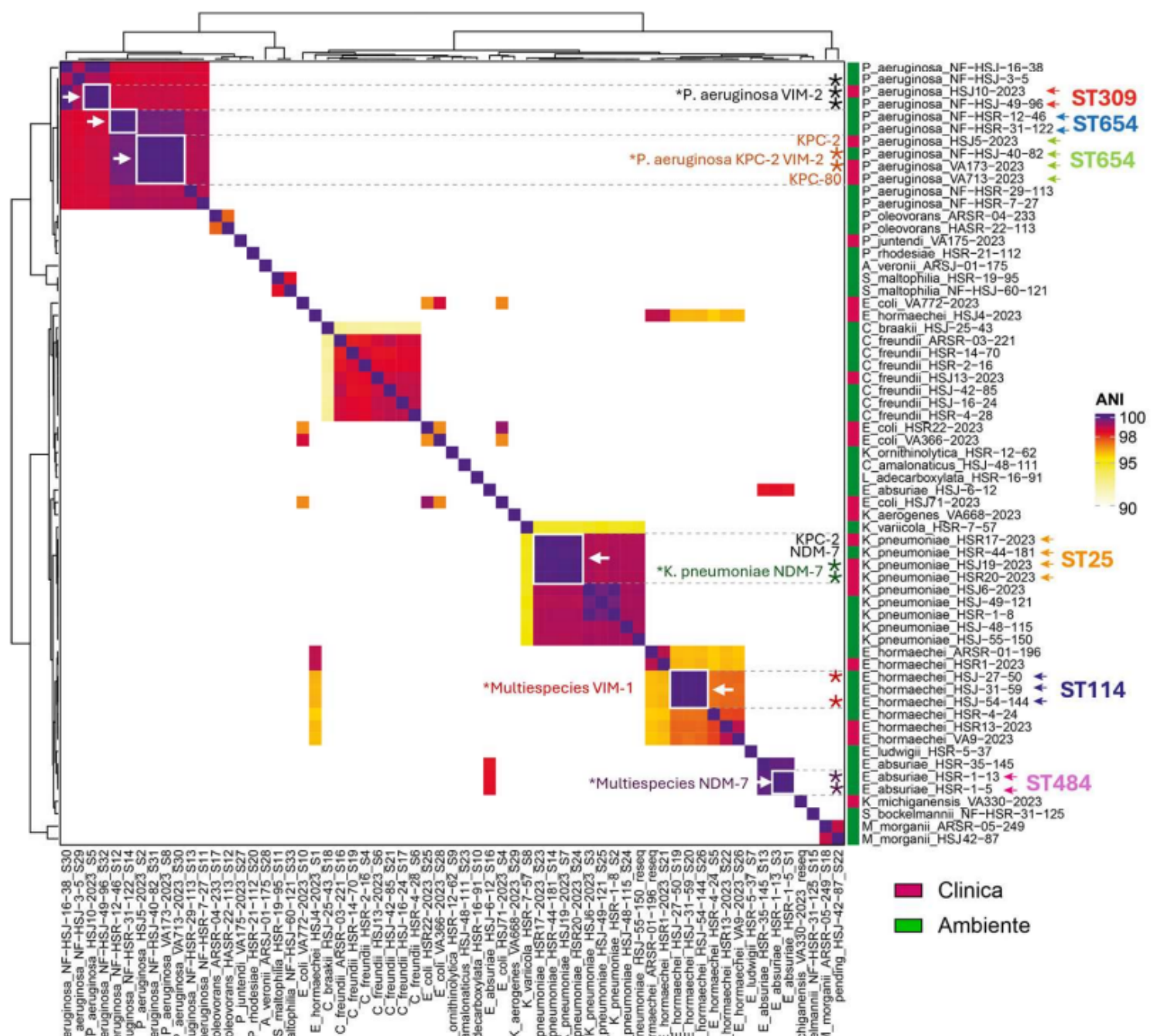
Distribución del número de genes de resistencia encontrado en cada genoma, agrupados según la especie (A), o según el origen clínico o ambiente (B y C).



Variedad y prevalencia de genes de resistencia identificados en la colección de 63 genomas estudiados. El área de cada cuadrado en proporcional a la abundancia relativa del respectivo gen en el universo de genes identificados.

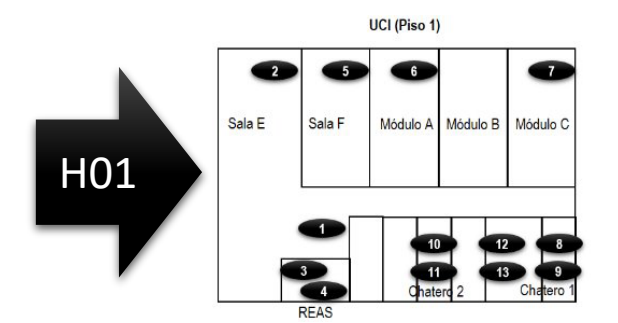


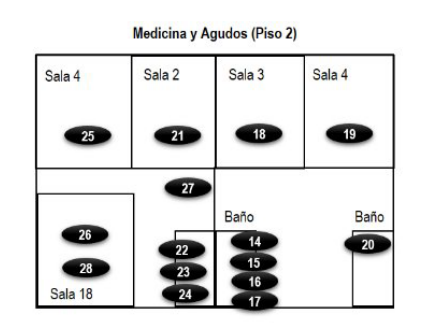
Agrupamiento de los 63 aislados en base a su perfil de genes de resistencia. Se destacan los principales genes de resistencia compartidos entre los distintos grupos de aislados que comparten un perfil similar. En base a los perfiles, se definieron 8 grupos que comparten genes de resistencia (indicados con recuadros fucsia y amarillo).

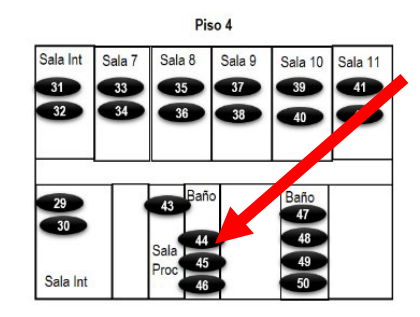


Grado de Clonalidad

Calculo de la identidad promedio de nucleótidos (ANI) a nivel de genoma completo.







K. pneumoniae **H01** 44-181 *K. pneumoniae* **H01-17** -2023

K. pneumoniae **H01-20** – 2023

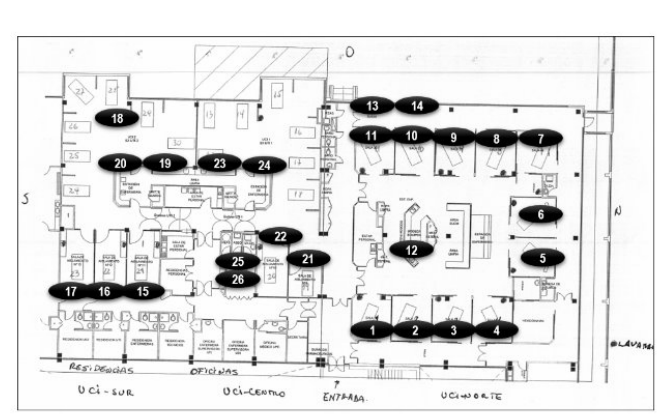
K. pneumoniae **H02-19** – 2023

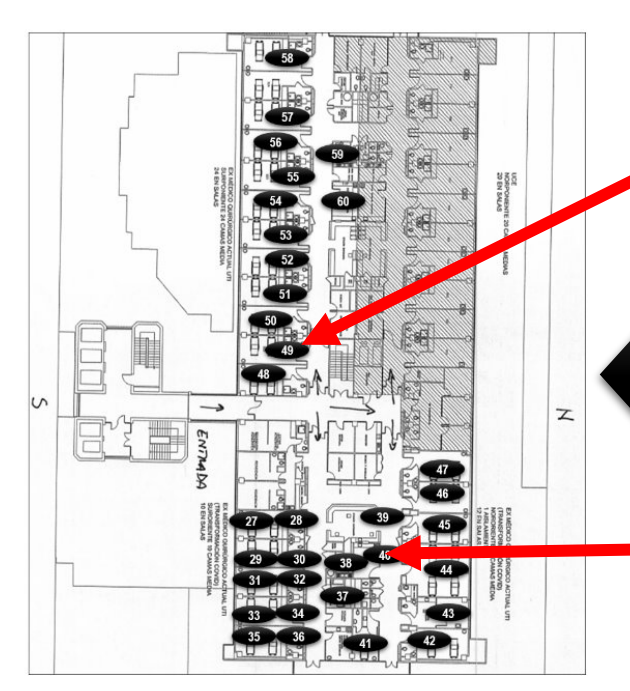
ST25 ST25 ST25

ST25

THE PARTY OF THE P

Lavacopas





P. aeruginosa **H02** NF-49-96 **ST309***P. aeruginosa* **H02-10** – 2023 **ST309**

H02

P. aeruginosa **H02** NF-40-82 **ST654**

P. aeruginosa **H02-5**

P. aeruginosa VA173



Lavamanos habitación 526



Lavamanos sala procedimientos

ST654

ST654



Available online at www.sciencedirect.com

Journal of Hospital Infection

journal homepage: www.elsevier.com/locate/jhin



Short Report

Impact of sink design on bacterial transmission from hospital sink drains to the surrounding sink environment tested using a fluorescent marker

J. Pirzadian a , T. Souhoka b , c , M. Herweijer d , e , L. van Heel f , W.J.B. van Wamel a , R.H.M. Goossens b , J.A. Severin a , M.C. Vos a , * , †



Journal of Hospital Infection

Volume 150, August 2024, Pages 61-71



Review

The impact of sink removal and other waterfree interventions in intensive care units on water-borne healthcare-associated infections: a systematic review

J.M. Low ^{a b} $\stackrel{\triangle}{\sim}$ $\stackrel{\boxtimes}{\bowtie}$, M. Chan ^c, J.L. Low ^d, M.C.W. Chua ^{a b}, J.H. Lee ^{e f}

Microbiome

Home About <u>Articles</u> Sections Collections Submission Guidelines

Submit manuscript 🖫

Research Open access | Published: 12 May 2025

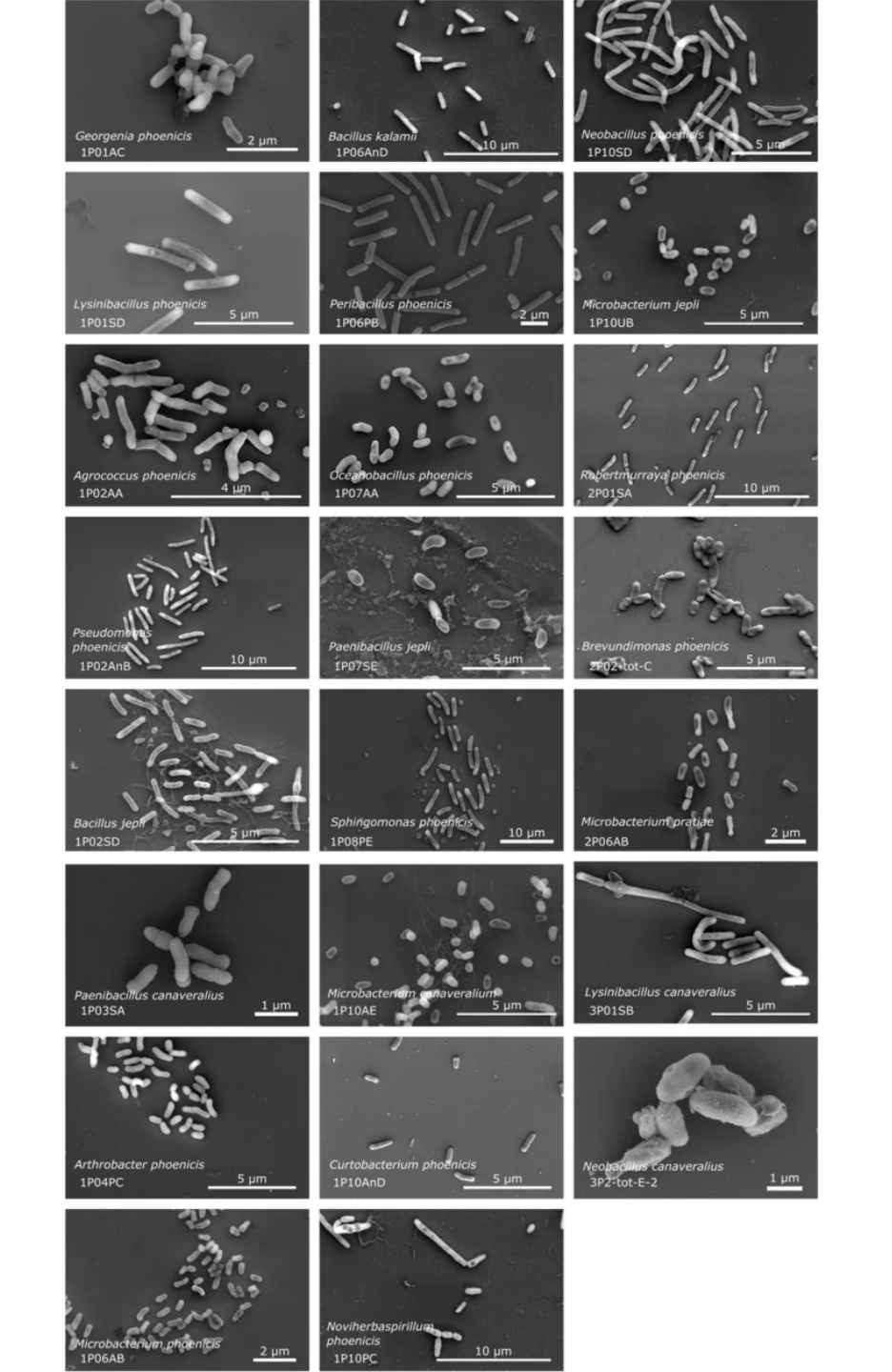
Genomic insights into novel extremotolerant bacteria isolated from the NASA Phoenix mission spacecraft assembly cleanrooms

Júnia Schultz, Tahira Jamil, Pratyay Sengupta, Shobhan Karthick Muthamilselvi Sivabalan, Anamika Rawat, Niketan Patel, Srinivasan Krishnamurthi, Intikhab Alam, Nitin K. Singh, Karthik Raman, Alexandre Soares Rosado [™] & Kasthuri Venkateswaran

<u>Microbiome</u> **13**, Article number: 117 (2025) <u>Cite this article</u>

1531 Accesses **244** Altmetric Metrics

Las salas limpias de la NASA están diseñadas para minimizar la contaminación biológica durante la construcción de naves espaciales. A pesar de estrictos protocolos de limpieza y control ambiental, ciertos microorganismos resistentes logran persistir en estos entornos.



Conclusiones

- Se identificaron clones resistentes tanto en ambientes clínicos como ambientales, compartiendo genes clave de resistencia (ej: bla_{KPC}, bla_{NDM}).
- La identificación de STs comunes en diferentes orígenes sugiere transmisión cruzada.
- Los lavamanos y superficies compartidas podrían actuar como reservorios de bacterias multirresistentes.
- La vigilancia genómica permite trazar rutas de transmisión y debe incorporarse en estrategias de control de IAAS.



